

## ارزیابی دقت و کارآیی رابطه جهانی فرسایش خاک و برخی از نسخ آن در برآورد رسوب رگبارهای منفرد (مطالعه موردی: ایستگاه تحقیقات منابع طبیعی خسیجان، اراک)

سید حمیدرضا صادقی<sup>۱\*</sup>، حمیدرضا پورقاسمی<sup>۱</sup>، مجید محمدی<sup>۱</sup> و حشمت الله آقارضی<sup>۲</sup>

(تاریخ دریافت: ۸۶/۲/۲۶؛ تاریخ پذیرش: ۸۷/۷/۲۲)

### چکیده

عدم وجود و یا کمبود آمار و اطلاعات در زمینه فرسایش خاک و تولید رسوب در بسیاری از حوزه‌های آبخیز کشور، استفاده از روش‌های تجربی مناسب برای برآورد شدت و مقادیر فرسایش خاک و تولید رسوب را گزینناظر می‌نماید. در این تحقیق، میزان کارآیی مدل USLE و نسخ مختلف آن شامل AUSLE، MUSLE-E، MUSLE-S، AOF و MUSLT در کرت استاندارد در تیمارهای دیم، شخم رها شده و مرتع در مقیاس رگبار ارزیابی شده است. برای این منظور کلیه متغیرهای مورد نیاز و ورودی مدل‌های مذکور در سه کرت مستقر در هر تیمار در ایستگاه تحقیقات منابع طبیعی خسیجان در شهرستان اراک محاسبه و به‌منظور اجرای مدل‌های مذکور مورد استفاده قرار گرفت. نتایج بدست آمده از به کارگیری هر یک از مدل‌ها با مقادیر رسوب اندازه‌گیری شده ۱۲ رگبار مقایسه و نهایتاً کارآیی و دقت مدل‌های مذکور در هر یک از تیمارهای مورد بررسی ارزیابی شد. نتایج ارزیابی ضمن تأیید ارتباط آماری خوب بین برآوردهای بسیاری از مدل‌ها با یکدیگر نمایان‌گر عدم توانایی و کارآیی مدل‌های مذکور در برآورد رسوب ناشی از رگبارها در تیمارهای مورد مقایسه بوده‌اند. حال آنکه ارتباط معنی‌دار تخمین‌های حاصل از مدل MUSLE-E ( $r=0.99$ ) و غیرمعنی‌دار MUSLE-S ( $r=0.50$ ) با مقادیر مشاهده‌ای به ترتیب در کاربری‌های مرتع، دیم و شخم رهاسده مورد تأیید قرار گرفت.

واژه‌های کلیدی: مدل‌های فرسایش، تولید رسوب، رسوب رگبار، کرت‌های فرسایش، کشت دیم، اراضی شخم‌زده، مرتع، استان مرکزی

### مقدمه

بررسی وضعیت تخریب موجود و هم‌چنین پیش‌بینی وضعیت فرسایش خاک و تولید رسوب در آینده امکان‌پذیر می‌باشد. ولی عدم وجود و یا کمبود آمار و اطلاعات در زمینه فرسایش خاک و تولید رسوب در بسیاری از حوزه‌های آبخیز کشور، بکارگیری روش‌های تجربی مناسب برای برآورد شدت فرسایش خاک و تولید رسوب را الزامی می‌نماید (۳). تحقیقات و بررسی‌های گسترده‌ای در زمینه علت و برآورد فرسایش خاک در

دست‌یابی به آمار دقیق در مورد میزان فرسایش خاک و رسوب در حوزه‌های آبخیز به‌منظور اجرای برنامه‌های حفاظت خاک و تعیین روش‌های مبارزه با فرسایش و کاهش تولید رسوب ضروری است. چنانچه در یک حوزه آبخیز اطلاعات مربوط به دبی آب و رسوب به اندازه کافی وجود داشته باشد محاسبه حجم کل رسوب سالانه با استفاده از روش‌های آماری موجود،

۱. دانشیار و دانش آموختگان کارشناسی ارشد مهندسی آبخیزداری، دانشکده منابع طبیعی و علوم دریایی، دانشگاه تربیت مدرس، نور  
۲. عضو هیئت علمی مرکز تحقیقات کشاورزی و منابع طبیعی استان مرکزی، اراک

\*: مسئول مکاتبات، پست الکترونیکی: [sadeghi@modares.ac.ir](mailto:sadeghi@modares.ac.ir)

مطالعه و هم‌چنین برآوردهای مدل‌های مورد استفاده با مقادیر مشاهدهای رسوب رگبارها دلالت داشته است (۶ و ۸). امروزه روش‌های مختلفی برای تخمین فرسایش خاک و یا تولید رسوب ارائه شده است لکن عمدۀ آنها بر مدل جهانی فرسایش خاک استوار بوده و تفاوت بسیاری از آنها در نحوه محاسبه و یا روش برآورده عوامل موجود در آن و خصوصاً عامل فرسایندگی باران و رواناب می‌باشد (۸). تغییرپذیری زیاد زمانی و مکانی عامل فرسایندگی (۷ و ۲۱) و هم‌چنین نقش آن به عنوان یکی از ورودی‌های مهم به سامانه‌های آبخیز برای انجام فرآیند فرسایش خاک (۱۶) از دلایل اصلی ضرورت توجه به این عامل در برآورد صحیح فرسایش خاک می‌باشد. به همین دلیل، در تحقیق حاضر تنها از روش‌هایی استفاده شده است که هر یک به شیوه‌ای خاص مبادرت به برآورده عامل فرسایندگی نموده و سپس در ترکیب با سایر متغیرها از مدل USLE برای تخمین فرسایش خاک استفاده می‌نماید. روابط متعددی برای تخمین متغیرهای رابطه جهانی فرسایش خاک تهیه و معرفی گردیده‌اند که نیاز به داده‌های ورودی متفاوت داشته و به همین دلیل دامنه استفاده و هم‌چنین دقّت آنها بسیار متغیر می‌باشد (۱۷ و ۲۳). از طرفی تاکنون ارزیابی‌های محدودی (۱، ۶، ۸، ۱۳، ۲۳) در خصوص توانمندی آنها در تأمین تخمین‌های مناسب از فرسایش خاک و یا تولید رسوب در مقیاس‌های مختلف زمانی و مکانی صورت پذیرفته و به‌همین دلیل در بعضی از موارد (۳) استفاده از مدل‌های مذکور بدون توجه به شرایط خاص کاربرد آنها پیشنهاد شده است. هم‌چنین تخمین میزان تولید رسوب طی یک رگبار به‌ویژه در مناطق خشک و نیمه خشک به‌دلیل تعداد کم و در عین حال شدت زیاد رگبارها و طبعاً توان بالای آنها در هدررفت خاک بسیار حائز اهمیت بوده و بعض‌استفاده از مدل نامناسب، تخمین بسیار بالا و یا بسیار پایین را به‌دبیال داشته است (۱۴ و ۲۳).

از این‌رو در تحقیق حاضر سعی شده تا قابلیت USLE و

حوزه‌های آبخیز از اوایل قرن بیستم شروع شد و نهایتاً منجر به تهیه رابطه جهانی فرسایش خاک (Universal Soil Loss Equation, USLE) گردید که به‌طور گسترده در سرتاسر جهان برای تخمین سالانه فرسایش خاک ناشی از فرسایش‌های سطحی و شیاری استفاده می‌شود (۲۰ و ۲۵). نسخ متعددی برای رابطه جهانی فرسایش خاک ارائه شده و استفاده از آنها در نقاط مختلف جهان مورد ارزیابی قرار گرفته است (۲۲ و ۲۳). ویلیامز و برنت در امریکا نشان دادند که رابطه جهانی فرسایش خاک تنها قادر است ۴۷٪ تغییرات در میزان تولید رسوب در رگبارها را ارزیابی نماید (۲۴). هم‌چنین توانایی USLE در تخمین مقدار رسوب انتقالی طی رگبارها توسط کینل و ریس در حوزه آبخیز راکی کریک (Rocky Creek) در استرالیا و صادقی و همکاران در حوزه آبخیز امامه در ایران ناموفق ارزیابی شد (۱۵ و ۲۳). در همین راستا شاهویی نیز در حوزه آبخیز قشلاق از رابطه جهانی فرسایش خاک برای تخمین میزان رسوب در هر رگبار استفاده و عدم توانایی آن را تائید نمود (۵). صادقی و همکاران نیز به بررسی قابلیت مدل (Modified Universal Soil Loss Equation) MUSLE برآورد رسوب حاصل از رگبارهای منفرد به‌ترتیب در حوزه آبخیز امامه در تهران، رودخانه شهرچای در آذربایجان غربی و حوزه آبخیز افچه در لتيان پرداخته و عدم توانایی شکل اویلیه مدل مذکور در تخمین رسوب رگبارهای مورد مطالعه را تائید نمودند (۲، ۴ و ۲۲). هم‌چنین مقایسه عامل فرسایندگی رابطه جهانی فرسایش خاک به‌انضمام برخی دیگر از نسخ آن در حوزه آبخیز امامه و بخشی از اراضی مرتعی منطقه خسیبی‌جان در استان مرکزی توسط صادقی و صادقی و همکاران از طریق ارزیابی نتایج حاصل از مدل‌ها با رسوب اندازه‌گیری شده ۱۲ رگبار مورد ارزیابی قرار گرفت. نتایج ارزیابی بر اختلاف معنی‌دار آماری بین مقادیر فرسایندگی مدل‌های مورد استفاده در هر دو منطقه مورد

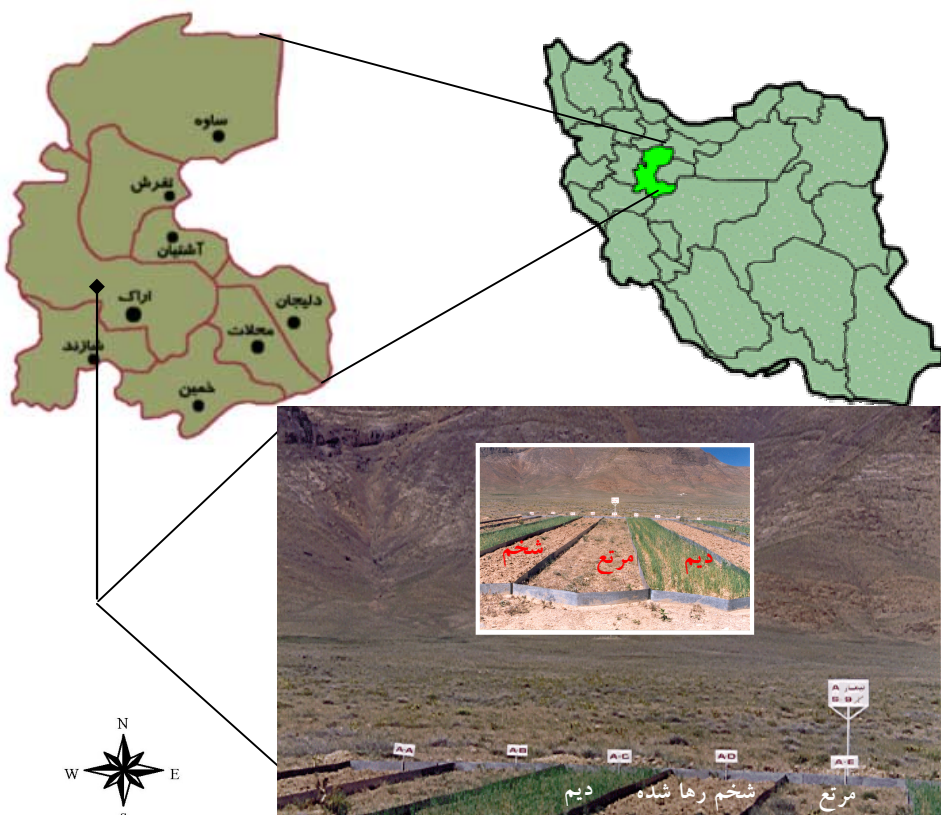
گالوانیزه محصور شد. ارتفاع ورقه‌ها ۳۰ سانتی‌متر بوده و ۱۵ سانتی‌متر آن در داخل زمین قرار داده شد. کرت‌ها در اراضی دیم در جهت شب شخم زده شده و بذر پاشی در آنها بدون انجام هرگونه کودپاشی و اقدام خاکورزی صورت گرفت. تیپ گیاهی غالب منطقه مرجعی مورد بررسی و طبعاً محل استقرار کرت‌های مربوطه *Astragalus-hultemii* بوده که در حدود ۵۰٪ از سطح منطقه را پوشانده است. تاج پوشش متوسط این تیپ حدود ۴۶٪ بوده و ترکیب گیاهان موجود به ترتیب گون، ورک، فرفیون، *Platyloba* و جارو با دامنه فراوانی ۱۴ تا ۳۱٪ بوده (۱۰) و هیچ‌گونه اقدامی در آن انجام نشد. کرت‌های تحت تیمار شخم رها شده نیز در بخش مرتعی و با ایجاد شخم در جهت شب شخم رها شده ایجاد شد و هیچ‌گونه بذرپاشی روی آن انجام نشد. در انتهای هر کرت لوله خروجی رواناب تعییه که به ظروف مدرج جمع‌آوری کننده رواناب و رسوب هدایت شد. هر تیمار در سه تکرار و در قالب سه کرت آزمایشی ایجاد شده و مقادیر میانگین رواناب و رسوب مستخرج از آنها برای تجزیه و تحلیل‌های مقایسه‌ای مورد استفاده قرار گرفت. شمای کلی کرت‌های مورد بررسی در شکل ۱ ارائه گردیده است. در مرحله بعد نمونه‌های جمع‌آوری شده از داخل ظروف جمع‌آوری کننده طی رگبارها در داخل آون با دمای ۱۰۰ درجه سانتی‌گراد به مدت یک روز خشک (۱۹) و سپس وزن رسوب با ترازوی دقیق تعیین گردید. آماربرداری بارندگی کل رگبارها طی پاییز ۱۳۷۴ مصادف با اتمام مراحل ساخت کرت‌های آزمایشی تا شهریور ۱۳۷۸ و پایان دوره طرح به کمک ایستگاه کلیماتولوژی اراک صورت گرفت (۱). برای بررسی کارآئی روش‌های مورد استفاده، دوازده رگبار با آمار همزمان بارش، رواناب و رسوب (۱) و هم‌چنین توانایی تولید رواتاب و طبعاً پتانسیل انتقال رسوب با مشخصات ضروری مندرج در جدول ۱ جمع‌آوری و برای استفاده در رابطه کلی (۱) و محاسبه عامل فرسایندگی باران و یا رواناب و هم‌چنین توپوگرافی

هم‌چنین اغلب نسخ آن شامل ) MUSLE-S (Modified AOF، (Universal Soil Loss Equation for sediment yield Theoretical ) MUSLT، (Onstad and Foster Model) MUSLE-E، (Modified Universal Soil Loss Equation Modified Universal Soil Loss Equation for soil ) AUSLE (USLE Modification) USLE-M، (erosion Adopted USLE) به عنوان زیربنای بسیاری از مدل‌های پیچیده و توسعه‌یافته در کاربری‌های دیم، شخم رها شده و مرتع در منطقه خسیجان به دلیل موجودیت اطلاعات و قابلیت دسترسی به داده‌های اندازه‌گیری شده مورد مقایسه و ارزیابی قرار گیرد. این مدل‌ها عمدتاً از لحاظ روش و نحوه برآورد عوامل فرسایندگی، توپوگرافی و یا مقیاس زمانی مورد استفاده متفاوت بوده (۶، ۱۴، ۲۰، ۲۴ و ۲۵٪) و طبعاً مقایسه توانمندی آنها در ارزیابی مقادیر مشاهده‌ای رسوب ناشی از رگبارها زمینه‌ساز استفاده از مدل‌های صحیح و کارآمد و هم‌چنین تهیه و توسعه مدل‌های جدید خواهد بود.

## مواد و روش‌ها

تحقیق حاضر در ایستگاه تحقیقات خسیجان در ۶۰ کیلومتری شهرستان اراک با مختصات جغرافیایی تقریبی  $22^{\circ} 49^{\prime}$  تا  $24^{\circ} 49^{\prime}$  طول شرقی و  $34^{\circ} 10^{\prime}$  تا  $34^{\circ} 08^{\prime}$  عرض شمالی اجرا شده است. ارتفاع ایستگاه از سطح دریا ۱۸۵۰ متر، متوسط بارندگی، درجه حرارت و پتانسیل تبخیر و تعرق سالانه به ترتیب  $321$  میلی‌متر،  $13/2^{\circ}\text{C}$  و  $1588$  میلی‌متر و هم‌چنین آب و هوای منطقه طبق روش آمبرژه خشک و سرد می‌باشد (۱). موقعیت کلی منطقه مورد مطالعه در شکل ۱ نشان داده شده است.

به منظور اندازه‌گیری فرسایش، زمینی با شبی ۹٪ در دامنه شمالی به واسطه ضرورت تشابه شرایط و هم‌چنین عکس العمل سریع منطقه در هر سه تیمار مرتع، شخم رها شده و دیم به دلیل حفظ رطوبت بیشتر انتخاب گردید. سپس کرت‌های استاندارد با ابعاد  $1/8$  در  $22/1$  متر (۱۱) احداث و اطراف آنها با ورق‌های



شکل ۱. موقعیت منطقه مورد مطالعه و شمای کلی کرت‌های آزمایشی

جدول ۱. مشخصات رگبارهای مورد مطالعه در ارزیابی کارآبی نسخ مختلف رابطه جهانی فرسایش خاک در کرت‌های آزمایشی مستقر در حوزه آبخیز تحقیقات منابع طبیعی خسیبجان، اراک

رگبار (روز)	تاریخ وقوع						حداکثر شدت نیم ساعته (میلی متر بر ساعت)	مدت بارش (میلی متر) (ساعت)	مقدار بارش (کیلوگرم)			
	رسوب مشاهده‌ای (کیلوگرم)		دبی اوج (لیتر بر ثانیه)		حجم رواناب (لیتر)							
	نوع کاربری	شخم	نوع کاربری	شخم	نوع کاربری	شخم						
شخم	مرتع	دیم	شخم	مرتع	دیم	شخم	مرتع	دیم	شخم			
۴/۳	۱/۴	۳۴/۰	۰/۱۱۶	۰/۰۹۵	۰/۱۲۴	۱۰/۸۰۰۵	۸/۱۶۴۴	۱۰/۸۶۱۵	۴/۵۲	۲/۵		
۱/۲	۶/۰	۱/۰	۰/۰۴۹	۰/۰۸۵	۰/۰۴۲	۸/۲۲۳۴	۷/۵۴۳۰	۷/۵۶۴۴	۳/۲	۱۰/۰		
۱۵/۰	۴/۷	۶/۰	۵/۴۲۲	۰/۲۷	۰/۰۹۳	۴۷/۲۰۸۵	۲۲/۸۱۰۴	۱۳/۵۵۷۷	۱/۶	۱۰/۰		
۱۱/۰	۴/۱	۸/۰	۰/۸۱۴	۰/۰۷۱	۰/۲۱۳	۳۸/۵۱۲۲	۹/۹۰۸۹	۱۸/۰۴۵۱	۶/۲	۲/۰		
۳۲۴/۰	۱۸۳/۰	۳۳۹/۰	۱/۷۱۲	۰/۱۲۶	۰/۲۱۸	۲۱/۰۲۶۵	۱۱/۴۳۲۷	۱۸/۳۸۷۴	۱/۱	۶/۰		
۱/۰	۱/۴	۲/۲	۰/۰۶۷	۰/۳۸۴	۰/۰۶۶	۵/۳۹۵۹	۳/۲۶۳۲	۵/۴۴۹	۶/۰	۵/۰		
۳/۷	۰/۹	۷/۰	۱/۰۱۹	۰/۱۱۸	۰/۰۸۷	۸/۵۹۴۵	۹/۸۹۲۳	۷/۴۰۱۶	۱/۹	۱۸/۰		
۱/۷	۲/۰	۲/۰	۰/۲۱۲	۰/۱۶۸	۰/۱۸۱	۱۸/۱۴۶۱	۱۳/۷۷۰۹	۱۵/۶۲۶	۲/۸	۸/۰		
۸/۰	۲/۰	۴/۰	۰/۰۹۷	۰/۰۶۷	۰/۰۵۶	۷/۹۹۴۹	۵/۴۰۴۹	۴/۸۶۴۴	۳/۲	۸/۲		
۲/۲	۱/۴	۱/۰	۰/۱۴۷	۰/۰۷۸	۰/۰۵۳	۱۲/۵۴۹۶	۶/۶۸۶۲	۴/۳۴۲۸	۲/۳	۷/۲۰		
۷/۲	۲/۰	۲/۰	۰/۱۸۵	۰/۰۴۱	۰/۰۳۸	۱۵/۹۸۴۰	۳/۲۰۱۲	۳/۳۸۸۸	۲/۳	۱۰/۱		
۲/۰	۲/۰	۱/۵	۰/۲۰۳	۰/۱۹۹	۰/۱۸۹	۱۷/۴۲۳۸	۱۷/۰۴۲۴	۱۵/۶۲۵۹	۵۴	۳۲/۵		
										۳۷/۷		
										۷۷/۱/۱۶		

برای مقایسه با مقادیر رسوب مشاهده‌ای ناشی از هر رگبار استفاده شد. از طرفی نظر به ثبات سایر عوامل فرسایش‌پذیری خاک (K)، توپوگرافی (LS)، مدیریت زراعی (C) و مدیریت اراضی (P) به دلیل انجام کلیه مراحل تحقیق در کرت‌های مشابه و یکسانی آنها در رابطه [۱] و همچنین ارتباط مستقیم عامل توپوگرافی مدل USLE با مدل AUSLE با نسبت ثابت عددی (رابطه ۸)، مقایسه لازم در رابطه با عامل فرسایندگی (R) مدل‌های مذکور مندرج در روابط ۲ تا ۷ نیز صورت پذیرفت. مقدار فرسایش‌پذیری خاک (K) با توجه به نوع بافت خاک و مطالعات خاک‌شناسی انجام شده برابر با  $0.039\text{ تن بر هکتار}$  به ازاء واحد فرسایندگی در سیستم متريک لحاظ و مقدار آن با توجه به کوتاه بودن دوره مورد مطالعه و همچنین نقش یکسان تغییر احتمالی آن در کترول تخمين مدل‌های مورد استفاده، ثابت (۱۴) فرض شد. مقدار LS در کرت‌های استاندارد و برای کلیه روش‌های مورد استفاده به جزء AUSLE برابر با واحد بوده حال آن‌که مقدار مذبور برای AUSLE (رابطه ۸) برابر با  $1/274\text{ مساحت}$  است. مقدار C در تیمار دیم با توجه به وضعیت پوشش و زمان وقوع رگبار بین  $0.02\text{ تا }0.073\text{ تن}$  در تیمار شخم رها شده برابر با واحد و در مرتع نیز با توجه به وضعیت پوشش مرتع و زمان وقوع رگبار بین  $0.019\text{ تا }0.073\text{ تن}$  منظور گردید. مقدار P نیز با توجه به عدم اعمال اقدامات حفاظتی خاص در کرت‌های مورد بررسی برابر واحد ( $0.020\text{ و }0.023\text{ تن}$ ) در نظر گرفته شد. سپس مقایسه تخمين‌های حاصل از روش‌های مختلف با یکدیگر و مقادیر مشاهده‌ای ناشی از رگارها در تیمارهای مختلف با استفاده از ماتریس همبستگی، آزمون t و تجزیه و تحلیل واریانس و همچنین مقایسه میانگین‌ها، دسته‌بندی مقادیر و اختلاف آنها با توجه به توزیع نرمال داده‌ها با آزمون دانکن انجام شد. کلیه تجزیه و تحلیل‌های آماری با استفاده از نرم افزارهای SPSS 11.5 و Excel انجام شد.

## نتایج و بحث

نتایج حاصل از محاسبه مقادیر فرسایندگی با استفاده از روابط ۲ تا ۷ و سپس مقادیر فرسایش و یا رسوب برآورده پس از

(روابط ۲ تا ۸) مورد استفاده قرار گرفتند.

- [۱] A=R.K.LS.C.P
  - [۲] RUSLE=(EI30)/100
  - [۳] RMUSLE-S=11.8(Q.qp)0.56
  - [۴] RAOF=0.646E+0.45(Q.qp)0.33
  - [۵] RMUSLT=2.5(Q.qp)0.5
  - [۶] RMUSLE-E=1.586(Q.qp)0.56(DA)0.12
  - [۷] RUSLE-M=QREI30
  - [۸] LSAUSLE=(As/22.13)0.4(Sina/0.0896)1.3
- در روابط فوق A میزان فرسایش خاک متوسط سالانه در USLE (تن در هکتار)، میزان فرسایش هر رگبار در AOF (تن در هکتار)، میزان فرسایش هر رگبار در LSLE و MUSLE-E (تن) و یا میزان رسوب ناشی از هر رگبار در MUSLT، MUSLE-S و MUSLE-M (تن)، R، K، LSLE در C و P به ترتیب عوامل فرسایندگی (تن‌متر بر هکتار در سانتی‌متر بر ساعت)، فرسایش‌پذیری (تن بر هکتار به ازای هر واحد فرسایندگی)، توپوگرافی، مدیریت زراعی و مدیریت اراضی، E انرژی جنبشی باران (تن‌متر بر هکتار)، I30 حداکثر شدت سی‌دقیقه‌ای (سانتی‌متر بر ساعت)، Q حجم رواناب (مترمکعب)، qp دبی اوج رگبار (مترمکعب بر ثانیه)، DA مساحت حوزه (هکتار)، QR ضریب رواناب، As مساحت کرت (متر مربع) و α تندی شیب (درجه) است (۱۷، ۱۳، ۱۲، ۱۸، ۲۰، ۲۳ و ۲۴).

اطلاعات مربوط به خصوصیات بارش (مقدار بارش، مدت بارش و حداکثر شدت نیم ساعت) با استفاده از تجزیه و تحلیل کاغذهای باران‌نگار استخراج شدند. خصوصیات هیدرولوژیکی رواناب (حجم، دبی و ضریب رواناب) با استفاده از مقادیر رواناب جمع آوری شده، هیدروگراف مثلثی بدون بعد (۹) و تقسیم حجم رواناب حاصله بر حجم بارش تعیین گردید. سایر مشخصات مرتبط با رواناب و رسوب مشاهده‌ای نیز در ستون‌های مربوطه جدول ۱ ارائه شده است. در ادامه سایر متغیرهای مورد نیاز ارائه شده مدل‌های مورد استفاده و مندرج در روابط ۱ تا ۸ در کرت‌های مستقر در تیمارهای دیم، شخم رهاسده و مرتع مورد مطالعه، محاسبه و در روابط مربوطه استفاده شد. مقادیر فرسایش برآورده روش‌های مختلف با توجه به مساحت کرت‌ها برابر با رسوب (۲۳) بوده و

داده‌اند که با نتایج گزارش شده توسط صادقی (۶) در رابطه با برآورد زیاد مدل AOF در حوزه آبخیز امامه مطابقت دارد.

نتایج به کارگیری مدل‌های مورد مطالعه در برآورد رسوب ناشی از رگبارها با لحاظ کلیه متغیرهای محاسبه شده برای هر یک از آنها و برای تیمارهای مختلف نیز استخراج و در جدول ۳ ارائه شده است. دقّت در جدول ۳ نشان می‌دهد که اختلاف بین مقادیر تخمینی مدل‌های مختلف برآورد فرسایش یا تولید رسوب با مقادیر مشاهده‌ای در تمامی تیمارها با یکدیگر معنی‌دار بوده است. حال آن‌که تدقیق در نتایج آزمون  $t$  تنها دلالت بر اختلاف معنی‌دار تخمین‌های AOF در کاربری شخم دلالت بر اختلاف معنی‌دار تخمین‌های AOF در کاربری شخم (۴/۵۵۲ $\pm$ ۲/۱۶۶)، مرتع (۱۳۸ $\pm$ ۰/۰۱۸۳) و دیم (۰/۰۴۰ $\pm$ ۰/۰۹۵) با مقادیر مشاهده‌ای به ترتیب (۰/۶۰۰ $\pm$ ۱/۹۱۰) و (۰/۶۰۰ $\pm$ ۰/۰۹۷) و (۰/۰۳۴ $\pm$ ۰/۰۱۷) و سطوح معنی‌داری به ترتیب (۰/۰۰۰۵۰)، (۰/۰۰۰۵۰) و (۰/۰۰۰۵۰) در تیمارهای مورد بررسی داشته است. از طرفی کمترین اختلاف بین مقادیر مشاهده‌ای و مدل‌های USLE-M، USLE (AUSLE) (۰/۰۲۹۰)، (۰/۰۳۱۵ $\pm$ ۰/۰۰۲۹)، (۰/۰۳۳۵۶ $\pm$ ۰/۰۰۲۱) و USLE-M (۰/۰۰۲۴ $\pm$ ۰/۰۰۲۱) به ترتیب در کاربری‌های شخم رها شده، مرتع و دیم با سطوح غیرمعنی‌داری (۰/۰۲۶۴۰)، (۰/۰۳۵۶) و (۰/۰۹۶۲۵) (t=۹۶۲۵) و (۰/۰۹۸۷) (t=۰/۰۰۱۷) به دست آمد. نتایج مذکور با یافته‌های صادقی و همکاران، صادقی و همکاران (۲۰۰۴)، خواجه‌ای و همکاران (۲)، رضایی‌فر و همکاران (۴) و صادقی (۶) مطابقت دارد. نتایج بررسی ارتباط همبستگی عامل فرسایندگی (R) و مقدار رسوب برآورده ناشی از رگبارها به دلیل ثبات سایر متغیرهای مورد استفاده در مدل‌ها (K, L, C, S, P) در جدول ۴ ارائه شده است. نتایج به دست آمده همچنان نشان می‌دهد که مدل‌های مورد استفاده، همبستگی بالایی با یکدیگر داشته حال آن که ضریب همبستگی آنها با مقادیر مشاهده‌ای رسوب به جز مدل MUSLE-E (r=۰/۹۹۴) در تیمار مرتع بسیار کم می‌باشد. اگر

استفاده از روابط ۲ و همچنین ۸ برای مدل AUSLE و نهایتاً رابطه اصلی کلیه مدل‌ها (رابطه ۱) به ترتیب در جداول ۲ و ۳ ارائه شده است. اختلاف برآورد عامل فرسایندگی توسط مدل‌های MUSLE-E، MUSLT، AOF، MUSLE-S، USLE و USLE-M با یکدیگر از طریق آزمون  $t$  با مقادیر حداقل و حداقل سطح معنی‌داری (t=۷/۲۸۱) و (t=۰/۰۰۰۲) و (t=۰/۰۰۳۳) به ترتیب مربوط به جفت مدل‌های AOF (۰/۰۰۰۴ $\pm$ ۰/۰۰۰۲۵)، MUSLE-E (۰/۰۰۰۴ $\pm$ ۰/۰۰۰۲۵) و USLE-M (۰/۰۶۹۰ $\pm$ ۰/۰۷۴۹۴) و USLE (AUSLE) (۰/۰۳۹۶۷ $\pm$ ۱/۳۱۲۸) در کاربری دیم، (۰/۰۰۰۰۲) (t=۷/۳) و (۰/۰۲۳۹) (t=۲/۶۱۸) به ترتیب مربوط به جفت مدل‌های MUSLE-E (۰/۰۰۱ $\pm$ ۰/۰۰۰۶۱)، AOF (۰/۰۰۱ $\pm$ ۰/۰۰۰۶۱) و MUSLT (۰/۰۰۱ $\pm$ ۰/۰۰۰۲۱) و MUSLE-E (۰/۰۰۰۲۸ $\pm$ ۰/۰۰۰۱۵) در کاربری مرتع و همچنین (۰/۰۰۰۰۲) (t=۷/۲۹۹) و سطح غیرمعنی‌داری (۰/۰۵۱۹۵) (t=۲/۱۷۹) به ترتیب مربوط به جفت مدل‌های MUSLE-E (۰/۰۰۰۱۵ $\pm$ ۰/۰۰۰۶۳)، AOF (۰/۰۷۴۹۲ $\pm$ ۰/۰۶۹۱۰) و USLE(AUSLE) (۰/۰۰۸/۴۳۹۶ $\pm$ ۰/۰۵۱/۴۶۱) و USLE-M (۰/۰۲۸۳۵ $\pm$ ۰/۰۶۴۸۷) در تیمار شخم مورد تأیید قرار گرفت. همچنین با توجه به تفاوت معنی‌دار مقادیر فرسایندگی محاسبه شده توسط هر یک از روش‌ها، آزمون دانکن برای طبقه‌بندی دقیق آنها استفاده و نتایج به دست آمده از طریق درج حروف مختلف و حاصل از آزمون مزبور در جدول ۲ نشان داده شده است. دقّت در جدول ۲ نشان می‌دهد که مقادیر عامل فرسایندگی به دست آمده از روش‌های مختلف به جز روش‌های AUSLE و USLE، به دلیل تشابه روش محاسبه R با یکدیگر، اختلاف معنی‌دار داشته حال آن‌که عملکرد هر یک از مدل‌ها در تیمارهای دیم، شخم رها شده و مرتع مورد بررسی با توجه به شباهت حروف درج شده در جدول مذکور مشابه می‌باشد. نتایج همچنین نشان می‌دهد که مدل AOF و MUSLE-E به ترتیب بالاترین و کمترین مقدار فرسایندگی در بین نسخ مختلف رابطه جهانی فرسایش خاک در کاربری‌های مختلف را از خود نشان

جدول ۱۰. مقایسه مقدادیور فرسایندگی محاسبهای از روش‌های مختلف در تیمارهای دیم، ششم رها شده و مرتع

USLE			AOF			USLE:M			MULST			AUSLE			MUSLE:E			MUSLE:S		
c	b	a	b	a	c	e	d	f	c	d	f	e	g	f	h	i	j	k	l	
٠/٩٠	٠/٩٠	٠/٩٠	١/٦٧/٥٣٥١	١/٢٧/٥٣٤٩	١/٢٧/٥٣٥٣	١/٦٩	٠/٩٦	٠/٠٠٢٨	٠/٠٠٢٢	٠/٩	٠/٩	٠/٠٠٢٩	٠/٠٠٢٩٤٦	٠/٠٠٥٤٧٤	٠/٠٠٥٦٠٨	٠/٠٠٥٦٤٦	٠/٠٠٥٦٧٨	١		
٠/٨٠	٠/٨٠	٠/٨٠	١/٥٦/٥٤٥٨	١/٥٧/٥٤٧٤	١/٥٦/٥٤٦٥	١/٥٨	٠/٩٦	٠/٠٠٢٩	٠/٠٠٢٠	٠/٨	٠/٨	٠/٠٠٢١	٠/٠٠٢٧٨	٠/٠٠٢٧٨	٠/٠٠٢٧٨	٠/٠٠٢٧٨	٠/٠٠٢٧٨	٢		
٠/٧٢	٠/٧٢	٠/٧٢	١/٦٧/٥٤٥٤	١/٦٧/٥٤٥٣	١/٦٧/٥٤٥٣	١/٦٧	٠/٩٦	٠/٠٠٢٩	٠/٠٠٢٣	٠/٧٢	٠/٧٢	٠/٠٠٢٤	٠/٠٠٢٤٦	٠/٠٠٢٤٦	٠/٠٠٢٤٦	٠/٠٠٢٤٦	٠/٠٠٢٤٦	٣		
١/٢٨	١/٢٨	١/٢٨	١/٣٣/٥٣٧٤	١/٣٣/٥٣٧٤	١/٣٣/٥٣٧٤	١/٢٦	٠/٩٦	٠/٠٠٢٩	٠/٠٠٢١	١/٢٨	١/٢٨	٠/٠٢٤٣	٠/٠٢٤٣٧	٠/٠٢٤٣٧	٠/٠٢٤٣٧	٠/٠٢٤٣٧	٠/٠٢٤٣٧	٤		
٠/٥٢	٠/٥٢	٠/٥٢	٢/٧١/٥١٨	٢/٧١/٥١٧	٢/٧١/٥١٧	٢/٧١	٠/٩٦	٠/٠٠٢٩	٠/٠٠٢٠	٠/٥٣	٠/٥٣	٠/٠٢٩	٠/٠٢٩٩	٠/٠٢٩٩	٠/٠٢٩٩	٠/٠٢٩٩	٠/٠٢٩٩	٥		
٠/٥٥	٠/٥٥	٠/٥٥	٢/٩١/٥٢	٢/٩١/٥٢	٢/٩١/٥٢	٢/٩١	٠/٩٦	٠/٠٠٢٩	٠/٠٠١٩	٠/٥٣	٠/٥٣	٠/٠٢٩٢	٠/٠٢٩٢	٠/٠٢٩٢	٠/٠٢٩٢	٠/٠٢٩٢	٦			
٠/٤٣	٠/٤٣	٠/٤٣	٢/٩٢/٥٥٩	٢/٩٢/٥١٢	٢/٩٢/٥٠٣	٢/٩٢	٠/٩٥	٠/٠٠٢٩	٠/٠٠٢٧	٠/٤٣	٠/٤٣	٠/٠١٢٥	٠/٠١٢٥٩	٠/٠١٢٥٩	٠/٠١٢٥٩	٠/٠١٢٥٩	٧			
٠/٦٧	٠/٦٧	٠/٦٧	٢/٩٤/٥٢٢	٢/٩٤/٥١١	٢/٩٤/٥١١	٢/٩٤	٠/٩٥	٠/٠٠٢٩	٠/٠٠٢٨	٠/٦٧	٠/٦٧	٠/٠٠٢٩	٠/٠٠٢٩٣	٠/٠٠٢٩٣	٠/٠٠٢٩٣	٠/٠٠٢٩٣	٠/٠٠٢٩٣	٨		
٠/٣٧	٠/٣٧	٠/٣٧	٢/٩٤/٥٢٩	٢/٩٤/٥٢٩	٢/٩٤/٥٢٩	٢/٩٤	٠/٩٥	٠/٠٠٢٩	٠/٠٠١٥	٠/٣٧	٠/٣٧	٠/٠٠٣١	٠/٠٠٢٧	٠/٠٠٢٧	٠/٠٠٢٧	٠/٠٠٢٧	٩			
٠/٦٩	٠/٦٩	٠/٦٩	٢/٩٣/٥٢٨	٢/٩٣/٥٢٧	٢/٩٣/٥٢٧	٢/٩٣	٠/٩٥	٠/٠٠٢٩	٠/٠٠١٨	٠/٦٩	٠/٦٩	٠/٠٣٥٤	٠/٠٣٥٤٦	٠/٠٣٥٤٦	٠/٠٣٥٤٦	٠/٠٣٥٤٦	١٠			
٠/٤٤	٠/٤٤	٠/٤٤	٢/٩٤/٥٤٨	٢/٩٤/٥٤٧	٢/٩٤/٥٤٧	٢/٩٤	٠/٩٥	٠/٠٠٢٩	٠/٠٠٢٣	٠/٤٤	٠/٤٤	٠/٠٣٦٤	٠/٠٣٦٤٦	٠/٠٣٦٤٦	٠/٠٣٦٤٦	٠/٠٣٦٤٦	١١			
٢/٦٨	٢/٦٨	٢/٦٨	٣/١٥/٥٦١	٣/١٥/٥٦١	٣/١٥/٥٦١	٣/١٥	٠/٩٥	٠/٠٠٢٩	٠/٠٠٢٧	٢/٦٨	٢/٦٨	٠/٠٢٧	٠/٠٢٧	٠/٠٢٧	٠/٠٢٧	٠/٠٢٧	١٢			

\* حروف انگلیسی، مشابه (ه ت ا) نشانگر تساوی آماری مقدارهای مختلف و ترتیب حروف نهادنگ نزدیک مقدارهای دست آمده می‌باشد.

جدول ۱۰: مقایسه مقدار تحریف نسخ مختلف رابطه جهانی فرسایش شاک با درستگاه مشاهده‌ای ثابت از ریگبارها (کیبلو گرم) در تیمارهای دینه، ششم رها شده و موئیت

در حوزه آنخیز خسوسجان

جیلو!؛ مثاً نعم، هم سهستگی، محسنه ای، دو طبل های، مختلف و مقداراً، نسبت مشاهده ای، دو تیهارهای، دمه، شنجه، ها شدید و بسیار.

۷۰

جدول ٥.

به ترتیب در رابطه با توانایی مدل AUSLE، MUSLE-S، AOF و USLE-M در برآورد رسوب ناشی از رگبارها در نقاط مختلف جهان مطابقت ندارد. این موضوع شاید به دلیل استفاده از مدل‌های ذکر شده طی تحقیق حاضر در کرت‌ها و شرایط استاندارد و عدم استفاده از آنها در شرایط به‌کارگیری برخی از مدل‌ها در شرایط متفاوت با تهیه و توسعه آنها باشد. گفتنی است که مقدار ضریب همبستگی مدل AOF با مقادیر مشاهده‌ای در حدود ۴۴٪ بوده که در رتبه دوم تطبیق نسبت به روش MUSLE-E قرار گرفته و دلالت بر امکان واسنجی مدل مذکور برای منطقه مرتعی مورد نظر را دارد که با پیشنهاد صادقی (۱۳۸۴) در رابطه با واسنجی مدل مذکور برای دستیابی به تخمین‌های مناسب در برآورد رسوب رگبارها در حوزه آبخیز امامه هم‌اهنگی دارد.

### نتیجه‌گیری

تحقیق حاضر به منظور بررسی دقّت و کارآیی نسخ مختلف رابطه جهانی فرسایش خاک در تیمارهای دیم، شخم رها شده و مرتع در مقیاس رگبار و کرت‌های آزمایشی انجام شد. از نتایج به دست آمده در خصوص مقایسه، کاربرد و توانایی روش‌های مختلف تخمین فرسایش خاک و تولید رسوب در مدل‌های MUSLT، AOF، MUSLE-S، USLE و MUSLE-E مورد استفاده شامل می‌توان جمع‌بندی نمود که روش‌های یاد شده به رغم همبستگی بالا با یکدیگر غالباً دارای اختلاف معنی‌دار با مقادیر مشاهده‌ای رسوب در هر یک از تیمارهای دیم، شخم رها شده و مرتع بوده و در این میان تنها مدل MUSLE-E همبستگی بالایی با رسوب مشاهده‌ای از خود نشان داده و طبعاً قادر به برآورد خوب از مقادیر رسوب تولیدی طی رگبارها در کاربری مرتعی مورد مطالعه خواهد بود. وجود اختلاف معنی‌دار بین نتایج به دست آمده از روش‌های گوناگون دلالت بر ضرورت انجام واسنجی‌های منطقه‌ای لازم در استفاده از کلیه روش‌های موجود و یا تهیه مدل‌های منطقه‌ای

چه ضریب همبستگی نسبی بالاتر بین مقادیر مشاهده‌ای رسوب و فرسایندگی در مدل‌های MUSLE-S و MUSLE-E در تیمار دیم مؤید پتانسیل واسنجی و منطقی‌تر بودن فرآیند مفهوم‌سازی برتر مدل‌های مذکور می‌باشد. هم‌چنین متوسط نسبت رسوب تخمینی به رسوب مشاهده‌ای در تیمارهای مورد مطالعه و مدل‌های مختلف محاسبه و در جدول ۵ ارائه شده است. دقّت در جدول ۵ نشان می‌دهد که میانگین نسبت تخمین‌ها در مرتع بیشتر از دیم و شخم رها شده بوده و هم‌چنین بیشترین اختلاف علی‌رغم ضریب همبستگی بسیار بالا در مدل MUSLE-E مشاهده می‌شود. علت اختلاف عملکرد مدل‌های مذکور در کاربری‌های مورد مطالعه را می‌توان به فرآیند مدل‌سازی آنها در خصوص مداخله عامل رواناب و بارندگی در تبیین مقدار عامل فرسایندگی و هم‌چنین شرایط تهیه مدل‌های مذکور در قالب مطالعات حوزه‌ای و یا کاربری‌های مشخص نسبت داد. در شرایط بدون واسنجی مدل‌های AUSLE، USLE-M و USLE در ترتیب برای کاربری‌های مرتع، دیم و شخم رها شده و با پذیرش نسبت تخمین ۲۱۴۱/۰۰۰۲۱۴۱، ۷/۵±۰/۰۱۵۵۸۲ و ۵/۳±۰/۰۳۶۹۴۵ و با توجه به نتایج مقایسه میانگین‌های آنها استفاده نمود. حال آنکه در ارتباط رگرسیونی برآوردهای مربوط به مدل‌های مختلف در کاربری‌های مختلف و رگبارهای مورد مقایسه تنها استفاده از مدل MUSLE-E برای مرتع پیشنهاد می‌شود. دلیل این امر را می‌توان به شباهت کلی روند محاسباتی و تأکید مدل‌های مختلف بر تخمین میزان فرسایندگی باران نسبت داد. اگرچه مقدار همبستگی بین مدل AUSLE و مقادیر مشاهده‌ای علی‌رغم تغییر در روش محاسبه عامل توپوگرافی همچنان پایین و در حدود ۳۱٪ می‌باشد که با نتیجه به دست آمده توسط ویلیامز و برنت (۲۴) و هم‌چنین شاهویی (۱۳۷۱) (۵) مبنی بر توانایی بسیار کم رابطه جهانی فرسایش خاک (USLE) در برآورد رسوب رگبارها ( $i=0/47$ ) هم خوانی دارد اما با نتایج به دست آمده توسط صادقی (۲۳)، ویلیامز و برنت (۲۴)، موهان‌سیاه و همکاران (۱۷) و کیتل (۲۰۰۵) (۱۴)

داده‌های مورد نیاز با استفاده از وسایل دقیق اندازه‌گیری پیشنهاد و تأکید می‌شود.

تخمین فرسایش خاک و یا تولید رسوب و خصوصاً در شرایط کاربردی دارد. هم‌چنین انجام تحقیقات گستردتر با تعداد بیشتر رگبارها و در مقیاس‌های مکانی مختلف و جمع‌آوری کلیه

### منابع مورد استفاده

۱. آفارضی، ح. ۱۳۸۴. اندازه‌گیری فرسایش خاک و برآورد آن با USLE در دیزمزارها. مجموعه مقالات سومین همایش ملی فرسایش و رسوب، ۹-۶ شهریور ماه، صفحات ۴۷۵-۴۷۳.
۲. خواجه‌ای، ا.، ا. بروشکه، ر. سکوتی‌اسکویی و م. عرب خدری، ۱۳۸۰. بررسی قابلیت کاربرد مدل تجربی MUSLE برای برآورد رسوب حاصل از رگبارهای منفرد و رسوب سالانه در حوزه آبخیز شهرچای. همایش ملی مدیریت اراضی، فرسایش خاک و توسعه پایدار، اراک، ۴۲-۲ بهمن، صفحات ۴۴۶-۴۳۶.
۳. رفاهی، ح. ق. ۱۳۷۹. فرسایش آبی و کنترل آن. چاپ سوم، انتشارات دانشگاه تهران.
۴. رضایی‌فر، م.، ع. ر. تلوری و م. عرب خدری. ۱۳۸۰. بررسی کارایی MUSLE در برآورد رسوب رویدادهای منفرد در زیر حوضچه افقچه در حوزه لتيان. همایش ملی مدیریت اراضی فرسایش خاک و توسعه پایدار، اراک، ۴-۲ بهمن، صفحات ۵۴۲-۵۳۴.
۵. شاهویی، س.ص. ۱۳۷۱. رابطه میزان فرسایش با عوامل موثر در طول یک رگبارش. گزیده مقالات سومین کنگره علوم خاک ایران، ۱۷-۱۵ شهریور، صفحات ۵۶-۴۱.
۶. صادقی، س.ح. ر. ۱۳۸۴. مقایسه برخی از روش‌های برآورد فرسایندگی باران. مجله علوم و صنایع کشاورزی ۱۹(۱): ۴۵-۵۲.
۷. صادقی، س.ح. ر. و م. بهزادفر. ۱۳۸۳. تغییرات مکانی فرسایندگی باران در استان مازندران. پژوهشنامه علوم کشاورزی و منابع طبیعی خزر ۲(۱): ۳۶-۴۹.
۸. صادقی، س.ح. ر.، ح. ر. پورقاسمی و م. محمدی. ۱۳۸۶. مقایسه میزان دقت برخی از روش‌های برآورد فرسایش خاک و تولید رسوب در اراضی مرتعی. مجله مرتع ۱۱(۱): ۶۰-۷۱.
۹. علیزاده، ا. ۱۳۸۰. هیدرولوژی کاربردی. انتشارات دانشگاه امام رضا.
۱۰. گندمکار، ع. ا. ۱۳۷۵. گزارش طرح تحقیقاتی ایستگاه خسیجگان، استان مرکزی. پژوهشکده حفاظت خاک و آبخیزداری کشور، صفحات ۳۱-۳۶.
11. Bennett, H. H. 2001. Soil Conservation. Agrobios Pub., New Delhi.
12. Kinnell, P. I. A. 2001. The USLE-M and modeling erosion within catchment. In: D.E. Slott, R. H. Mohtar and G. C. Steinhardt (Eds.), selected paper from 10th International Soil Conservation Organization Meeting, 24-29 May. 1999. Purdue University and the USDA-ARS National Soil Erosion Research Laboratory.
13. Kinnell, P. I. A. 2004. Agriculture non point source pollution model using the USLE-M. AGNPS-UM User,s Guide, University of Canberra, Australia.
14. Kinnell, P. I. A. 2005. Why the universal soil loss equation and the revised version of it do not predict event erosion well?, Hydrol. Process. 19: 851-854.
15. Kinnell, P. I. A. and L.M. Risso. 1998. USLE-M: Empirical modeling rainfall erosion though runoff and sediment concentration, Soil Sci. Soc. Am. J. 62: 1667-1672.
16. Laflen, J. M. and W. C. Moldenhauer. 2003. The USLE Story. World Association of Soil and Water Conservation (WASWC).
17. Moehansyah, H., B. L. Maheshwari and J. Armstrong. 2004. Field evaluation of selected soil erosion models for catchment management in Indonesia. Biosys. Eng. 88(4): 491-506.
18. Onstad, C. A. and G. R. Foster. 1975. Erosion modeling on a watershed. Trans. ASAE. 18(2): 288-292.
19. Putjaroon, W. and K. Pongboon. 1987. Amount of runoff and soil losses from various land use sampling plots,

- Thailand, In: Proceedings of Forest Hydrology and Watershed Management August 1987, IAHS-AISH Pub., UK.
20. Renard, K. G., G. R. Foster, G. A. Weesies, D. K. McCool and D. C. Yoder. 1997. Predicting soil erosion by water: A guide to conservation planning with the revised universal soil loss equation (RUSLE). United States Department of Agriculture.
21. Sadeghi, S. H. R. and M. Behzadfar. 2004. Temporal variation of rainfall erosivity factor in Mazandaran Province. Iran, In: The Fourth International Iran and Russia Conference on Agriculture and Natural Resource, Shahre Kord, Iran, 8-10 Sep, PP. 1280-1285.
22. Sadeghi, S. H. R., J. K. Singh and G. Das. 2003. Storm-wise sediment yield prediction using applicable models in Iran. J. Agric. Sci. and Natur. Resour. of Khazar 1(3): 83-94
23. Sadeghi, S. H. R., J. K. Singh and G. Das. 2004. Efficacy of annual soil erosion models for storm-wise sediment prediction, Iran. Intl. Agric. Eng. J. 13(1&2): 1-14.
24. Williams, J. R. and H. D. Berndt. 1977. Sediment yield prediction based on watershed hydrology. Trans. ASAE. 20(6): 1100-1104.
25. Wischmeier, W. H. D. D. and Smith. 1978. Predicting Rainfall Erosion Losses-A Guide to Conservation Planning. Agricultural Handbook No. 537, USDA, Washington, USA.